

Relatório trabalho de grupo

Soft margins SVM com o SMO

UC: Otimização em Machine Learning

Docentes: Maria Fernanda Pires Costa e Gaspar José Brandão Queirós
Azevedo Machado

Ano letivo: 2022/2023

Curso: Mestrado em Matemática e Computação

Alunos: Daniela Brasileiro (pg49172) · Luís Silva (pg49177) · Diogo Rosário (pg49174)

Índice

Índice de figuras	3
Índice de tabelas	3
Introdução	4
Soft-Margin SVM.....	4
<i>Sequential Minimal Optimization</i> (SMO)	6
Pseudo-código	7
Implementação Prática do algoritmo SVM com SMO.....	8
Iris-Setosa versus Outras Espécies	8
Iris-versicolor versus outras espécies	11
Webgrafia.....	16

Índice de figuras

Figura 1- Soft Margin SVM	4
Figura 2- Criação do dataset.....	8
Figura 3- Dados de treino	9
Figura 4- Representação dos resultados	10
Figura 5- Representação dos resultados	11
Figura 6- Aplicação de PCA e criação de datase	12
Figura 7- Dados de treino	12
Figura 8- Representação dos resultados (kernel Gaussiano)	14
Figura 9- Representação dos resultados (com kernel polinomial)	15

Índice de tabelas

Tabela 1- Vetores de suporte com $C=10$	9
Tabela 2- Vetores de Suporte com $C=1000$	10
Tabela 3- Vetores de Suporte (kernel Gaussiano).....	12

Introdução

Este trabalho de investigação foi proposto no âmbito da Unidade Curricular de Otimização em *Machine Learning* do curso Mestrado em Matemática e Computação. Este consiste na implementação de uma versão simplificada do algoritmo *Sequential Minimal Optimization Algorithm* (SMO) para treinar *Soft Margins Support Vector Machine* (C-SVM) na versão dual, sem e com *kernel*, para classificação binária.

Soft-Margin SVM

Máquinas de Vetores de Suporte SVM (*Support Vector Machine*) é um algoritmo de *Machine Learning* supervisionado de classificação. O objetivo do SVM é encontrar o hiperplano que melhor separa os dados de duas classes diferentes, de tal forma que a distância entre os elementos (vetores de atributos) mais próximas de cada classe (chamados vetores de suporte) seja maximizada.

No entanto, a premissa dos dados serem perfeitamente linearmente separáveis não é realista. Deste modo, existe o algoritmo da margem suave/flexível do SVM no qual permite a ocorrência de pontos dentro da margem.

Neste trabalho vai-se aplicar o algoritmo *Soft margins SVM* com SMO que permite fazer classificação binária em dados não linearmente separáveis, além disso é um algoritmo menos sensível a *outliers*. A chave deste algoritmo é a introdução de variáveis de folga (erro extra).

Recordar que nos casos em que os dados são linearmente separáveis, o hiperplano é calculado de modo a garantir que todos os pontos satisfazem a restrição (condição para o hiperplano ótimo):

$$y^i(w^T x^i + b) \geq 1, y^i \in \{-1, 1\} \quad (1)$$

SVM pode lidar com pontos que não são linearmente separáveis, introduzindo variáveis de folga ξ_i na condição (1):

$$y^i(w^T x^i + b) \geq 1 - \xi_i, y^i \in \{-1, 1\} \quad (2)$$

onde $\xi_i \geq 0$ é a variável de folga para ponto x^i , que indica quanto o ponto viola a condição de separabilidade. Os valores das variáveis de folga indicam três tipos de pontos: i) Se $\xi_i = 0$, então o ponto x^i está pelo menos $\frac{1}{\|w\|}$ distante do hiperplano; ii) Se $0 < \xi_i < 1$, então o ponto está dentro da margem e está corretamente classificado, isto é, está do lado correto do hiperplano. iii) Se $\xi_i \geq 1$, então o ponto está mal classificado e encontra-se no lado errado do hiperplano. Na Figura 1 visualiza-se uma representação gráfica do algoritmo *soft margins SVM* no qual podemos ver assinalado a vermelho um exemplo em que o $\xi_i = 0$, a amarelo um exemplo em que $0 < \xi_i < 1$ e a azul um caso em que $\xi_i \geq 1$.

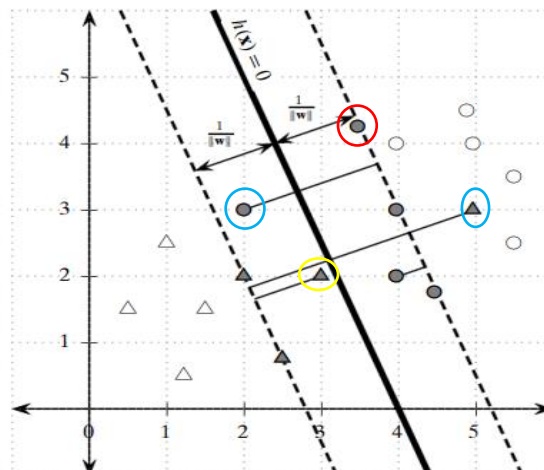


Figura 1- Soft Margin SVM

No *Soft-Margin SVM* o objetivo é encontrar o hiperplano com margem máxima que também minimiza a soma total dos erros ξ_i . E, desta forma a função objetivo é dada por:

$$\text{minimizar } \frac{1}{2} w^T w + C \sum_{i=1}^N \xi_i \quad (3)$$

$$\text{sujeito a : } y^i(w^T x^i + b) \geq 1 - \xi_i, \xi_i \geq 0, \text{ para } i = 1, \dots, N \quad (4)$$

onde, o parâmetro $C > 0$ controla o *trade-off* entre a distribuição global dos pontos das duas classes e os pontos locais próximos à fronteira de cada classe.

Podemos calcular a seguinte função Lagrangiana associada ao problema (3)-(4) introduzindo multiplicadores de Lagrange α_i e μ_i que satisfazem as condições KKT:

$$L(w, w_0, \xi, \alpha, \mu) = \frac{1}{2} w^T w + C \sum_{i=1}^N \xi_i - \sum_{i=1}^N \alpha_i [y^i(w^T x^i + b) - 1 + \xi_i] - \sum_{i=1}^N \mu_i \xi_i \quad (5)$$

O problema dual é dado por:

$$\max_{\alpha} \sum_{i=1}^m \alpha_i - \frac{1}{2} \sum_{i=1}^m \sum_{j=1}^m \alpha_i \alpha_j y^i y^j x^{iT} x^j \quad (6)$$

$$\text{sujeito a: } 0 \leq \alpha_i \leq C, i = 1, \dots, m \quad (7)$$

$$\sum_{i=1}^m \alpha_i y^i = 0 \quad (8)$$

O valor de α_i é igual a zero para os pontos que não são vetores de suporte e $\alpha_i > 0$ apenas para os vetores de suporte que correspondem a todos os pontos x^i nos quais se verifica a condição $y^i(w^T x^i + b) = 1 - \xi_i$, notar que agora os vetores de suporte incluem todos os pontos que estão na margem ($\xi_i = 0$), bem como os pontos com variável de folga positiva ($\xi_i > 0$).

O vetor de pesos é dado por: $w = \sum_{\alpha_i > 0} \alpha_i y^i x^i$

A função do hiperplano é dado por:

$$f(x) = w^T x + b \quad (9)$$

onde, w é um vetor perpendicular ao hiperplano, b é um escalar, chamado viés. Assim sendo, obtemos:

$$f(x) = \sum_{i=1}^m \alpha_i y^i x^{iT} x + b \quad (10)$$

No qual, podemos substituir o produto interno $x^{iT} x$ pela função kernel $K(x^i, x)$.

Pelas condições KKT do problema primal tem-se que, $(C - \alpha_i)\xi_i = 0$ (11).

Assim para os vetores de suporte (com $\alpha_i > 0$) temos dois casos a considerar i) $\xi_i > 0$, o que implica que $C - \alpha_i = 0$, isto é, $\alpha_i = C$, ou ii) $C - \alpha_i > 0$, isto é, $\alpha_i < C$. Neste caso, por (11) temos $\xi_i = 0$. Ou seja, estes são precisamente os vetores que estão na margem.

Usando os vetores de suporte que estão na margem, isto é, $0 < \alpha_i < C$ e $\xi_i = 0$ podemos calcular o viés por: $\alpha_i(y^i(w^T x^i + b_i) - 1) = 0$; $y^i(w^T x^i + b_i) = 1$; $b_i = \frac{1}{y^i} - w^T x^i = y^i - w^T x^i$. Para obter o viés final podemos calcular a média de todos os b_i .

Depois de calculado o hiperplano ótimo, para ~~calcular~~ classificar os novos pontos z usamos a função sinal: $\hat{y} = \text{sign}(f(z)) = \text{sign}(w^T z + b)$.

Este é um problema de Programação Quadrática (PQ), e deste modo pode ser resolvido por um dos métodos de otimização especificamente desenvolvidos no contexto

do SVM como é o caso do *Sequential Minimal Optimization (SMO) algorithm* (este algoritmo será explicado posteriormente).

As condições KKT podem ser usadas para verificar a convergência para um ponto ótimo. Para este problema as condições KKT são:

- $\alpha_i = 0 \Rightarrow y^i(w^T x^i + b) \geq 1$ (12)

- $\alpha_i = C \Rightarrow y^i(w^T x^i + b) \leq 1$ (13)

- $0 < \alpha_i < C \Rightarrow y^i(w^T x^i + b) = 1$ (14)

Ou seja, quaisquer α_i 's que satisfazem estas condições para todo o i , será uma solução ótima para o problema de otimização referido anteriormente.

O algoritmo SMO itera até que todas essas condições sejam satisfeitas (dentro de uma certa tolerância), garantindo assim a convergência.

Sequential Minimal Optimization (SMO)

O algoritmo SMO é um método iterativo que divide o problema de otimização em subproblemas menores que são resolvidos analiticamente. O algoritmo começa com uma solução inicial e, em cada iteração, seleciona dois vetores de suporte e otimiza os pesos do SVM para que esses vetores de suporte fiquem na fronteira de decisão.

SMO divide o grande problema de PQ em pequenos subproblemas (numa série subproblemas de PQ menores possíveis, incluindo apenas dois α 's de cada vez), que podem ser resolvidos analiticamente. Esta abordagem é até uma ordem de grandeza computacionalmente mais rápida.

Grande parte deste algoritmo é dedicado a heurísticas para escolher quais α_i e α_j utilizar de forma a maximizar a função objetivo tanto quanto possível.

Na versão simplificada do SMO aqui apresentada itera-se simplesmente sobre todo $\alpha_i, i = 1, \dots, m$. Se α_i não cumprir as condições KKT dentro de alguns limites numéricos de tolerância seleciona-se α_j dos restantes $m-1$ α 's e tenta-se otimizar em conjunto α_i e α_j . Se nenhum dos α 's for alterado após algumas iterações sobre todos os α_i 's, então o algoritmo termina.

Tendo escolhido os multiplicadores de Lagrange α_i e α_j para otimizar, primeiro calculam-se as restrições para esses valores e depois resolve-se o problema de maximização.

Primeiro, pretende encontrar os limites L e H tais que $L \leq \alpha_j \leq H$ deve ser garantido para que α_j satisfaça a restrição $0 \leq \alpha_j \leq C$. Isto é dado por:

- Se $y^i \neq y^j$, $L = \max(0, \alpha_j - \alpha_i)$, $H = \min(C, C + \alpha_j - \alpha_i)$ (15)

- Se $y^i = y^j$, $L = \max(0, \alpha_i + \alpha_j - C)$, $H = \min(C, \alpha_i + \alpha_j)$ (16)

De seguida, pretende-se encontrar α_j de maneira a maximizar a função objetivo. Se esse valor se encontrar fora dos limites L e H , simplesmente diminui-se o valor de α_j para ficar dentro desse intervalo.

O α_j ótimo é dado por:

- $\alpha_j := \alpha_j - \frac{y^i(E_i - E_j)}{\eta}$ (17)

onde

- $E_k = f(x^k) - y^k$ (18)

- $\eta = 2x^{iT} x^j - x^{iT} x^i - x^{jT} x^j$ (19)

Pode-se pensar em E_k como o erro entre a saída SVM no k-ésimo exemplo e o verdadeiro rótulo/legenda/classificação de y^k . Isto pode ser calculado usando a equação (2). Ao calcular o parâmetro η pode-se utilizar uma função *kernel* K em vez do produto interno. Em seguida, diminui-se α_j de modo a se encontrar no intervalo $[L, H]$.

$$\bullet \quad \alpha_j := \begin{cases} H & \text{se } \alpha_j > H \\ \alpha_j & \text{se } L \leq \alpha_j \leq H \\ L & \text{se } \alpha_j < L \end{cases} \quad (20)$$

Finalmente, tendo calculado α_j , o valor de α_i que é dado por:

$$\bullet \quad \alpha_i := \alpha_i + y^i y^j (\alpha_j^{ant} - \alpha_j) \quad (21)$$

Depois de otimizar α_i e α_j , seleciona-se o valor limiar b de modo que as condições KKT sejam satisfeitas para os pontos x^i e x^j . Se, após a otimização, α_i não está nos limites (ou seja, $0 < \alpha_i < C$), então o seguinte valor limiar b_1 é válido, pois força o SVM a produzir y^i quando o input é x^i

$$b_1 = b - E_i - y^i (\alpha_i - \alpha_i^{ant}) (x^{iT} x^i) - y^j (\alpha_j - \alpha_j^{ant}) (x^{iT} x^j) \quad (22)$$

Analogamente, o seguinte valor limiar b_2 é válido se $0 < \alpha_j < C$

$$b_2 = b - E_j - y^i (\alpha_i - \alpha_i^{ant}) (x^{iT} x^j) - y^j (\alpha_j - \alpha_j^{ant}) (x^{jT} x^j) \quad (23)$$

Se $0 < \alpha_i < C$ e $0 < \alpha_j < C$, ambos estes valores limiares são válidos e serão iguais.

Se ambos os novos α 's estão nos limites (ou seja, $\alpha_i = 0$ ou $\alpha_i = C$ e $\alpha_j = 0$ ou $\alpha_j = C$), então todos os valores limiares entre b_1 e b_2 satisfazem as condições KKT, assim considera-se $b := (b_1 + b_2)/2$. Deste modo, a equação completa para b :

$$\bullet \quad b := \begin{cases} b_1 & \text{se } 0 < \alpha_i < C \\ b_2 & \text{se } 0 < \alpha_j < C \\ (b_1 + b_2)/2 & \text{caso contrário} \end{cases} \quad (24)$$

Pseudo-código

A seguir, apresenta-se o algoritmo do SMO simplificado que foi implementado neste trabalho usando a linguagem de programação em *matlab* para treinar o modelo.

Algoritmo: SMO Simplificado

Input: C , tol : tolerância numérica, max_passes : número máximo de vezes para iterar sobre α 's sem alterar $(x^1, y^1), \dots, (x^m, y^m)$: dados de treino

Output: $\alpha \in \mathbb{R}^m$, $b \in \mathbb{R}$

- Inicializar: $\alpha_i = 0$, $\forall i$, $b = 0$, $passes = 0$.
- Enquanto ($passes < max_passes$ && $it < maxit$)
 - $it = it + 1$
 - $changed_alphas = 0$
 - para $i = 1, \dots, N$,
 - Calcular $E_i = f(x^i) - y^i$
 - se $((y^i E_i < -tol \&\& \alpha_i < C) \parallel (y^i E_i > tol \&\& \alpha_i > 0))$
 - para $j = [1:i-1, i+1:m]$
 - Calcular $E_j = f(x^j) - y^j$, utilizar (10)
 - Guardar: $\alpha_i^{ant} = \alpha_i$, $\alpha_j^{ant} = \alpha_j$.
 - Calcular L e H usando (15) e (16).

- **se** ($L = H$)
 - continuar para o próximo valor de i .
- Calcular η usando (19).
- **se** ($\eta \geq 0$)
 - continuar para o próximo valor de i .
- Calcular o novo valor para α_j usando (17) e (20).
- **se** ($|\alpha_j - \alpha_j^{ant}| < tol$)
 - continuar para o próximo valor de i .
- Calcular novo o valor de α_i usando (21).
- Calcular b_1 e b_2 usando (22) e (23) respectivamente.
- Calcular b usando (24).
- $num_changed_alphas := num_changed_alphas + 1$.
- **fim para**
- **fim se**
- **fim para**
- **se** ($num_changed_alphas == 0$)
 - $passes := passes + 1$
- **caso contrário**
 - $passes := 0$
- **fim enquanto**

Implementação Prática do algoritmo SVM com SMO

Para a implementação do algoritmo SVM com SMO utilizou-se o *dataset* Iris.

O *dataset* Iris contém as características da flor Iris, sendo que o objetivo é classificar (definir a classe / rótulo) o tipo dessa flor, entre três tipos possíveis: Versicolor, Setosa e Virginica.

Numa primeira abordagem a classificação será feita entre a espécie Iris-Setosa *versus* outras espécies. Numa segunda abordagem será realizada a classificação entre Iris-versicolor *versus* outras espécies.

Iris-Setosa versus Outras Espécies

Primeiramente, realizou-se o tratamento dos dados com o intuito de classificar como 1 os dados correspondentes à espécie Setosa e como -1 os dados referentes às outras espécies. Além disso, criou-se um *dataset* contendo esta informação bem como a informação dos atributos sepal width e sepal length através do código presente na Figura 2.

```
iris = sns.load_dataset('iris')
#Fazer label encoding aos dados
X = iris.drop(['species'], axis=1).values
y = iris['species'].values
def label_encoding(y):
    y_encoded = np.zeros((y.shape[0]))
    for i in range(y.shape[0]):
        if y[i] == "setosa":
            y_encoded[i] = 1
        else:
            y_encoded[i] = -1
    return y_encoded
y = label_encoding(y)
X = X[:,0:2]
dataset = np.concatenate((X, y.reshape(-1,1)), axis=1)
df = pd.DataFrame(dataset)
df[2] = df[2].round(0).astype(int)
df.to_csv('dataset1.csv', index=False, header=False)
```

Figura 2- Criação do dataset

De seguida, importou-se o *dataset* criado (*dataset1*) para o *matlab* e representou-se o gráfico contendo as flores da espécie Setosa versus outras espécies para os atributos *sepal_width* e *sepal_length*. Pelo gráfico presente na Figura 3 pode-se deduzir que para esta classificação (Setosa versus outras espécies) os dados são linearmente separáveis.

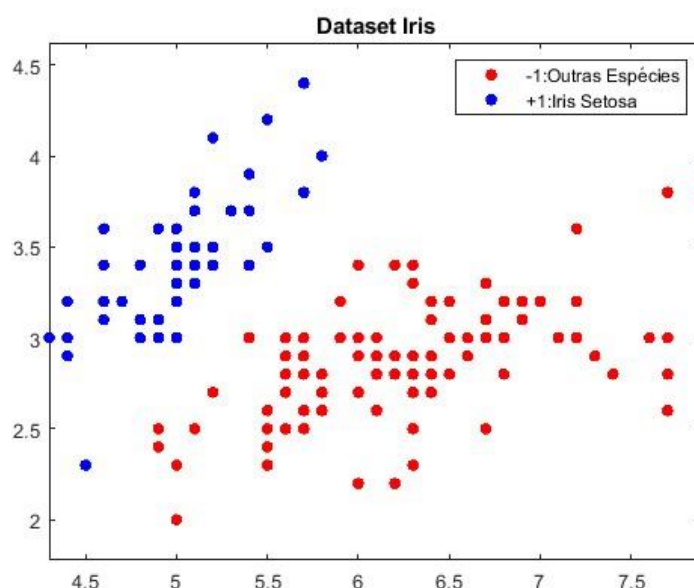


Figura 3- Dados de treino

Depois disto, dividiu-se os dados em 80% para dados de treino e 20% para validação. É importante referir que esta separação é feita de forma aleatória o que poderá levar a resultados ligeiramente diferentes, visto que o modelo é treinado com dados diferentes.

Uma vez que os dados são linearmente separáveis decidiu-se aplicar o *Kernel* linear e definir os parâmetros da seguinte forma: $\sigma=1$, tolerância = $1e-4$, máximo de iterações = 100, máximo de passagens = 1, $C=10$ e $C=1000$. Fez-se o treino do algoritmo SMO para dois valores diferentes de C com o intuito de comparar os resultados obtidos.

Resultados obtido para C=10:

SVM - Vetores de suporte:

Tabela 1- Vetores de suporte com $C=10$

n:	alpha_n	Xsv	Y_n
5	10.0000	x=[5.4000, 3.0000]	-1
10	0.4968	x=[5.5000, 3.5000]	1
13	2.2022	x=[5.7000, 3.8000]	1
15	2.5328	x=[4.9000, 2.5000]	-1
24	4.8905	x=[5.0000, 3.0000]	1
26	5.0886	x=[5.6000, 2.9000]	-1
32	10.0000	x=[6.0000, 3.4000]	-1
44	0.3059	x=[5.9000, 3.2000]	-1
51	6.2671	x=[4.5000, 2.3000]	1

54	7.6230	$x=[5.8000, 4.0000]$	1
60	10.0000	$x=[4.9000, 3.1000]$	1
63	6.1098	$x=[5.1000, 3.4000]$	1
75	1.7645	$x=[5.4000, 3.7000]$	1
92	10.0000	$x=[5.0000, 2.3000]$	-1
97	8.5733	$x=[5.0000, 3.3000]$	1
112	10.0000	$x=[5.2000, 2.7000]$	-1

Erro de validação: 0.0000e+00

Representação gráfica:

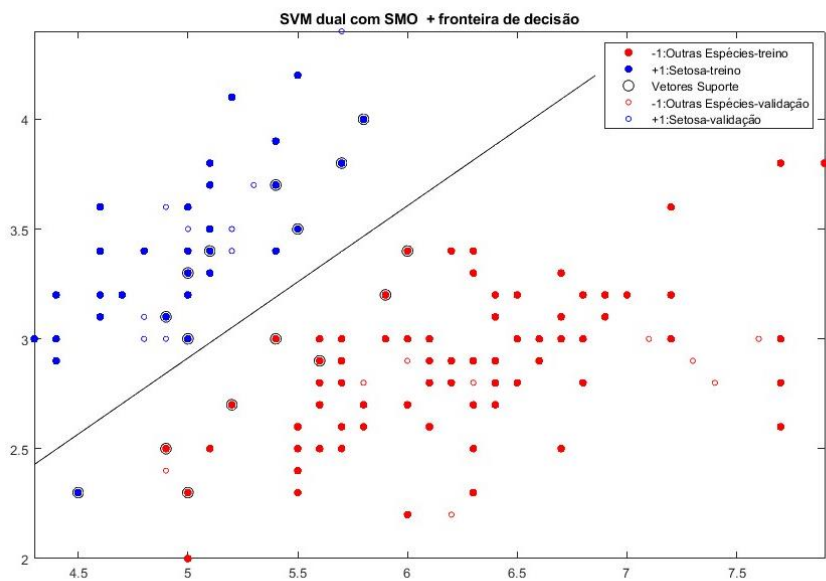


Figura 4- Representação dos resultados

Resultados obtidos para C = 1000:

SVM - Vetores de suporte:

Tabela 2- Vetores de Suporte com C=1000

n:	alpha_n	Xsv	Y_n
30	0.5459	$x=[5.4000, 3.4000]$	1
34	6.3143	$x=[5.6000, 2.9000]$	-1
41	4.5103	$x=[5.0000, 3.0000]$	1
49	1.2582	$x=[4.9000, 3.0000]$	1
54	10.0000	$x=[4.9000, 2.5000]$	-1
73	2.9586	$x=[6.3000, 3.4000]$	-1
74	0.3403	$x=[5.0000, 3.3000]$	1
78	2.6183	$x=[5.0000, 3.2000]$	1
81	10.0000	$x=[5.4000, 3.4000]$	1
86	7.6412	$x=[5.0000, 3.4000]$	1
90	4.8095	$x=[5.7000, 3.0000]$	-1

94	2.8317	$x=[6.0000, 3.4000]$	-1
118	0.3883	$x=[5.0000, 3.5000]$	1
119	6.4751	$x=[4.9000, 3.1000]$	1
120	6.8634	$x=[5.9000, 3.0000]$	-1

Erro de validação: 0.0000e+00

Representação gráfica dos resultados:

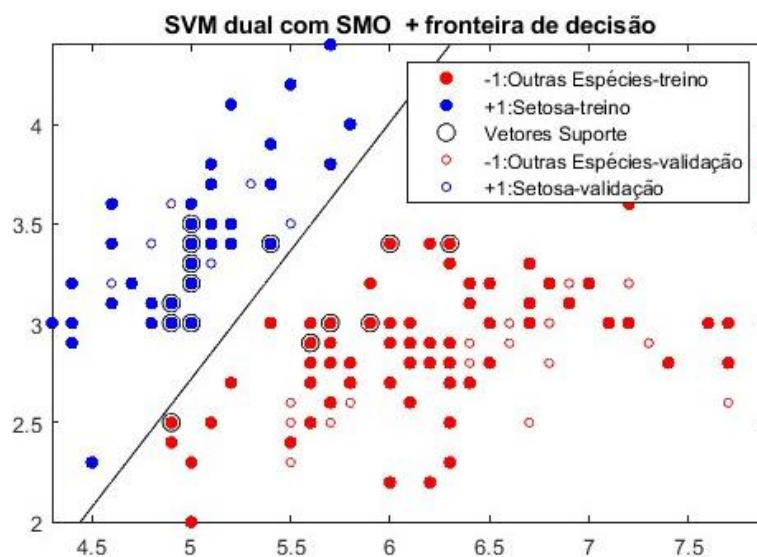


Figura 5- Representação dos resultados

Conclusões:

Apesar de em ambos os casos ($C=10$ e $C=1000$) o erro de validação ser igual a zero, por norma um valor de C pequeno desvaloriza o termo do erro, permitindo erros maiores e que mais pontos se tornem vetores de suporte com base nos quais o hiperplano é criado. Desta a fronteira de decisão reflete melhor a distribuição global dos pontos das duas classes.

Iris-versicolor versus outras espécies

Primeiramente, criou-se um *dataset* contendo a classificação de 1 para as plantas da espécie versicolor e -1 para as restantes espécies. Seguidamente, aplicou-se a PCA (Análise de Componentes Principais) ao *dataset* com o objetivo de reduzir este a duas componentes principais. Na Figura 6 observa-se a criação do referido *dataset* em python no qual se recorreu à função PCA já existente em *python* para reduzir a dimensão.

```

iris = datasets.load_iris()
X = iris.data
pca = PCA(n_components=2)
X_r = pca.fit(X).transform(X)
iris = sns.load_dataset('iris')
y = iris['species'].values
def label_encoding(y):
    y_encoded = np.zeros((y.shape[0]))
    for i in range(y.shape[0]):
        if y[i] == "versicolor":
            y_encoded[i] = 1
        else:
            y_encoded[i] = -1
    return y_encoded
y = label_encoding(y)
dataset = np.concatenate((X_r, y.reshape(-1,1)), axis=1)
df = pd.DataFrame(dataset)
df[2] = df[2].round(0).astype(int)
df.to_csv('dataset2.csv', index=False, header=False)

```

Figura 6- Aplicação de PCA e criação de dataset

Na figura 7 visualiza-se os dados de treino do *dataset* referido. No qual se observa que os dados não são linearmente separáveis.

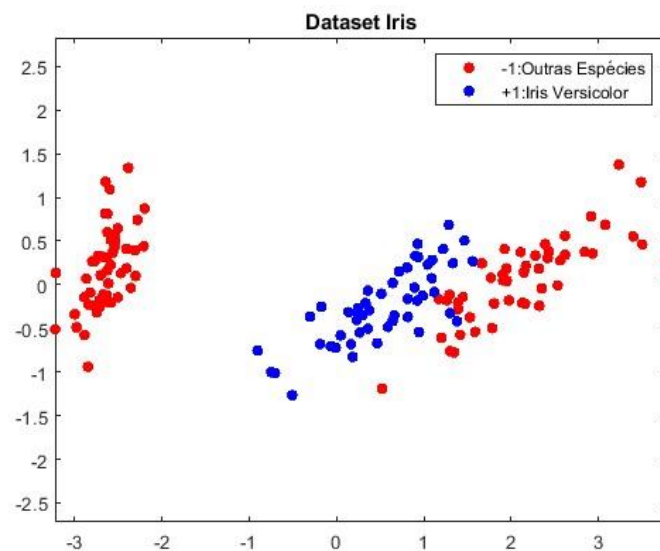


Figura 7- Dados de treino

Implementou-se o algoritmo para $\sigma^2 = 0.05$, com kernel gaussiano, $C=10$, $\text{maxit}=100$ e tolerância $10e^{-4}$.

Resultados:

SVM - Vetores de suporte:

Tabela 3- Vetores de Suporte (kernel Gaussiano)

n:	alpha_n	Xsv	Y_n
1	1.9825	x=[1.7643, 0.0789]	-1
2	3.2007	x=[-2.6489, 0.8134]	-1
5	1.2540	x=[2.9326, 0.3555]	-1
6	1.6178	x=[-2.8890, -0.1449]	-1

7	3.0021	$x=[-2.9974, -0.3419]$	-1
8	1.1604	$x=[-2.6841, 0.3194]$	-1
9	3.2736	$x=[-2.3558, -0.0373]$	-1
10	3.4464	$x=[2.1076, 0.3723]$	-1
11	1.8735	$x=[2.3212, -0.2438]$	-1
12	0.9265	$x=[-2.7453, -0.3183]$	-1
13	1.8863	$x=[-2.1998, 0.8728]$	-1
14	0.5334	$x=[3.4999, 0.4607]$	-1
16	0.1452	$x=[-2.2809, 0.7413]$	-1
17	0.5102	$x=[3.7956, 0.2573]$	-1
20	0.9065	$x=[0.9002, 0.3285]$	1
22	1.3588	$x=[-2.5880, 0.5136]$	-1
23	4.1943	$x=[-2.6728, -0.1138]$	-1
24	3.9296	$x=[2.2754, 0.3350]$	-1
25	6.7444	$x=[0.9447, -0.5431]$	1
26	9.8747	$x=[-0.9065, -0.7561]$	1
28	8.1811	$x=[-0.0087, -0.7231]$	1
30	10.0000	$x=[1.0951, 0.2835]$	1
31	10.0000	$x=[0.2990, -0.3489]$	1
32	10.0000	$x=[-0.1739, -0.2549]$	1
33	10.0000	$x=[1.2982, -0.3278]$	1
36	10.0000	$x=[1.5578, 0.2675]$	1
38	5.6856	$x=[-0.0681, -0.7052]$	1
40	7.4953	$x=[-0.7045, -1.0122]$	1
41	8.1963	$x=[1.3800, -0.4210]$	1
46	4.7644	$x=[-0.1896, -0.6803]$	1
48	5.9507	$x=[1.2848, 0.6852]$	1
49	3.2941	$x=[0.6426, 0.0177]$	1
53	1.3836	$x=[0.8151, -0.3720]$	1
55	3.0259	$x=[0.9279, 0.4672]$	1
57	3.7014	$x=[0.3579, -0.0689]$	1
58	2.3427	$x=[0.8133, -0.1634]$	1
68	0.6888	$x=[0.3762, -0.2932]$	1
69	4.6040	$x=[0.9217, -0.1827]$	1
75	4.2331	$x=[0.6603, -0.3530]$	1
77	3.8678	$x=[0.7149, 0.1491]$	1
82	3.1089	$x=[-2.4688, 0.1310]$	-1
83	5.4566	$x=[1.2911, -0.1167]$	-1
84	9.2614	$x=[1.6618, 0.2422]$	-1
85	2.0639	$x=[1.9497, 0.0419]$	-1
87	2.3124	$x=[-2.5381, 0.5038]$	-1
93	4.3087	$x=[2.6167, 0.3439]$	-1

94	2.1535	$x=[1.9009, 0.1166]$	-1
95	4.4506	$x=[1.3008, -0.7611]$	-1
97	3.7790	$x=[-2.6320, -0.1970]$	-1
98	5.4328	$x=[2.1594, -0.2173]$	-1
99	6.5772	$x=[0.5212, -1.1928]$	-1
101	4.2322	$x=[-3.2238, -0.5114]$	-1
102	4.6494	$x=[1.8034, -0.2156]$	-1
103	2.9021	$x=[-2.6395, 0.3120]$	-1
104	4.8527	$x=[-2.5069, 0.6451]$	-1
107	5.5886	$x=[1.4152, -0.5749]$	-1
109	0.3288	$x=[1.9051, 0.0493]$	-1
110	7.0007	$x=[1.5272, -0.3753]$	-1
111	7.0371	$x=[3.0765, 0.6881]$	-1
112	1.7014	$x=[-2.7141, -0.1770]$	-1
113	8.6878	$x=[1.1693, -0.1650]$	-1
114	1.3122	$x=[2.3500, -0.0403]$	-1
116	6.2085	$x=[3.3970, 0.5508]$	-1
117	6.2085	$x=[0.9325, 0.3183]$	1
118	4.6808	$x=[1.5859, -0.5396]$	-1
120	1.2332	$x=[1.2207, 0.4076]$	1

Erro de validação: 0.0000e+00

Representação gráfica dos resultados:

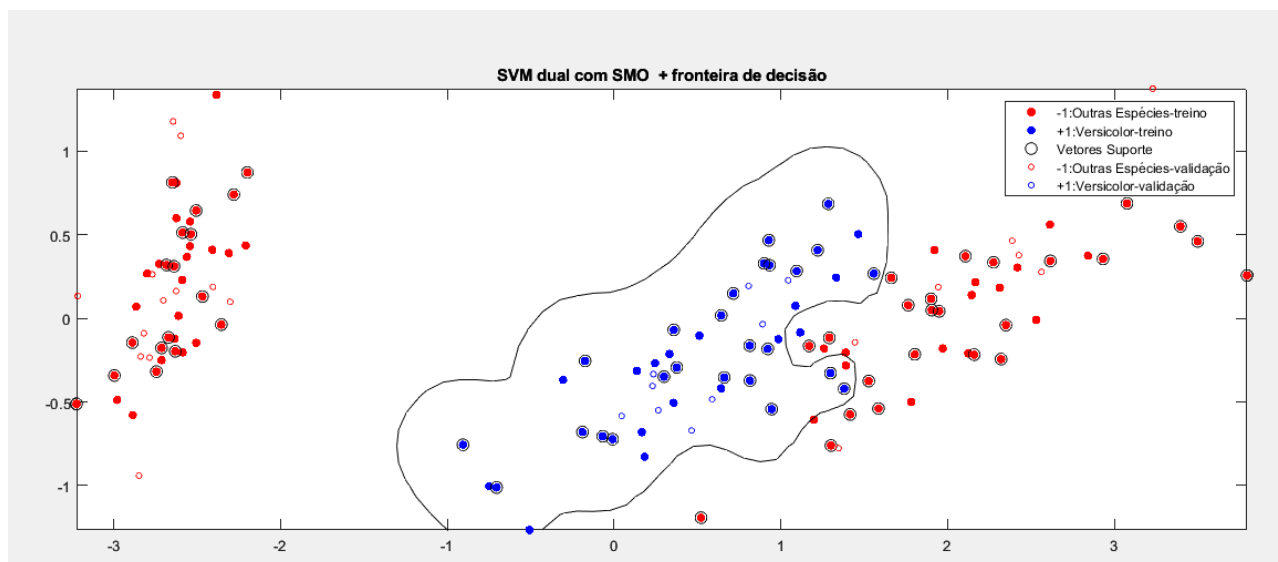


Figura 8- Representação dos resultados (kernel Gaussiano)

Aplicou-se novamente algoritmo com os mesmos parâmetros à exceção do kernel que se alterou para polinomial de grau 2 obteve-se o seguinte gráfico:

Erro de validação: 4.0000e+00

Representação gráfica dos resultados:

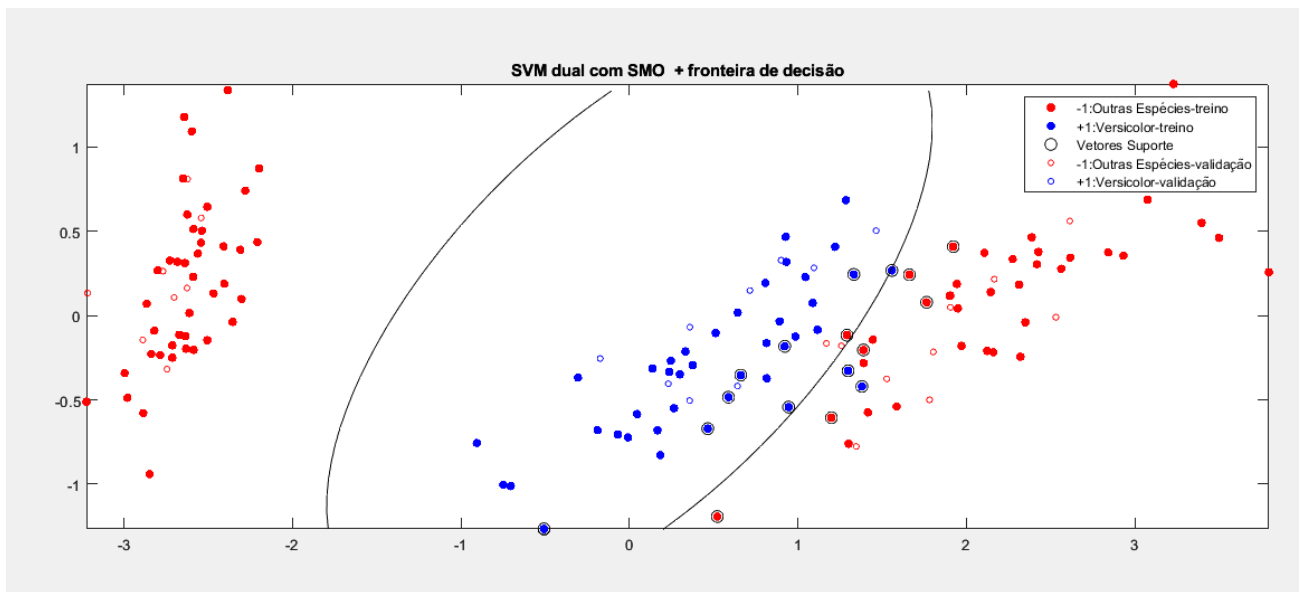


Figura 9- Representação dos resultados (com kernel polinomial)

Conclusão:

Podemos concluir que para estes dados o algoritmo permite encontrar um classificador melhor quando é aplicado o kernel gaussiano, isto é possível se concluir pela comparação do erro para os dados de teste, no caso gaussiano o erro é zero e no caso polinomial o erro é de 4. Além disso, também se pode verificar através da visualização do gráfico uma vez que com o kernel gaussiano se verifica uma melhor separabilidade das duas classes.

Webgrafia

- Data Mining and Machine Learning: Fundamental Concepts and Algorithms (2020), Mohammed J. Zaki, Wagner Meira Jr.
- CS 229, Autumn 2009, The Simplified SMO Algorithm. Disponível em: <http://cs229.stanford.edu/materials/smo.pdf>
- Material disponibilizado pelos docentes.